

КОГЕРЕНТНОЕ РЕНТГЕНОВСКОЕ ИЗЛУЧЕНИЕ ПУЧКОВ РЕЛЯТИВИСТСКИХ ЭЛЕКТРОНОВ В СОСТАВНОЙ МИШЕНИ

А.В. Носков¹⁾, С. В. Блажевич²⁾, А.В. Коноваленко²⁾, Д.Д. Мачукаев³⁾

¹⁾Московский технический университет связи и информатики, Москва, Россия

²⁾Белгородский государственный национальный исследовательский университет, Белгород, Россия

³⁾Белгородский государственный технологический университет им. В.Г. Шухова, Белгород, Россия

Развита динамическая теория когерентного рентгеновского излучения, генерируемого пучком релятивистских электронов в составной мишени «аморфный слой-вакуум-периодическая слоистая среда». Периодическая слоистая среда состоит из периодически расположенных трех различных слоев, при этом слои расположены под произвольным углом к поверхности мишени. Когерентное рентгеновское излучение выходит через заднюю поверхность мишени, то есть излучение в периодической слоистой среде происходит в геометрии рассеяния Лауэ.

Рассмотрим когерентное рентгеновское излучение (КРИ) релятивистских электронов, пересекающих трехслойную составную структуру, состоящую из двух аморфных слоев и слоя из периодической слоистой среды с тремя слоями на периоде (Рис.1). Аморфные слои имеют соответственно толщины слоев a и b , и диэлектрические восприимчивости χ_a и χ_b . Третий слой состоит из периодически расположенных слоев с толщинами l_1 , l_2 и l_3 , и диэлектрическими восприимчивостями χ_1 , χ_2 и χ_3 соответственно. Период слоистой структуры равен $T = l_1 + l_2 + l_3$.

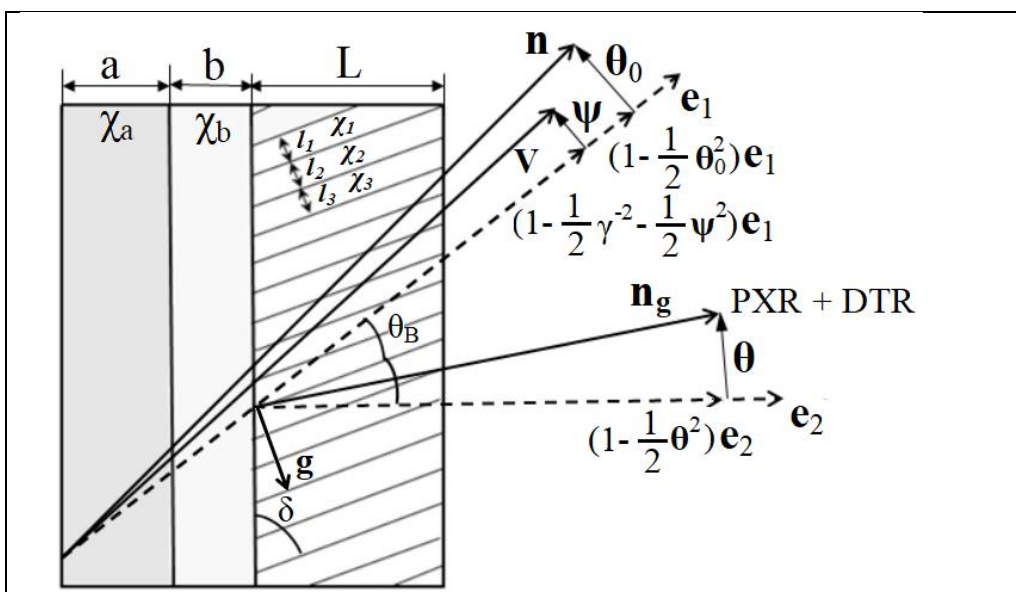


Рис.1 Геометрия излучения релятивистского электрона в составной структуре

Средняя диэлектрическая восприимчивость χ_0 в рассматриваемой периодической структуре имеет вид:

$$\chi_0(\omega) = \frac{l_1}{T} \chi_1 + \frac{l_2}{T} \chi_2 + \frac{l_3}{T} \chi_3$$

$$\chi_g = \frac{1}{igT} (\chi_3 - \chi_1 + (\chi_1 - \chi_2) e^{igl_1} + (\chi_2 - \chi_3) e^{-igl_3})$$

$$\mathbf{E}_{\omega, \mathbf{k}} = E_{\omega, \mathbf{k}}^{(1)} \mathbf{e}^{(1)} + E_{\omega, \mathbf{k}}^{(2)} \mathbf{e}^{(2)},$$

$$\mathbf{E}_{\omega, \mathbf{k} + \mathbf{g}} = E_{\omega, \mathbf{k} + \mathbf{g}}^{(1)} \mathbf{e}_g^{(1)} + E_{\omega, \mathbf{k} + \mathbf{g}}^{(2)} \mathbf{e}_g^{(2)}.$$

$$\mathbf{e}^{(1)} = \mathbf{e}_g^{(1)} = \frac{[\mathbf{k}, \mathbf{g}]}{[\mathbf{k}, \mathbf{g}]}, \mathbf{e}^{(2)} = \frac{[\mathbf{k}, \mathbf{e}^{(1)}]}{k}, \mathbf{e}_g^{(2)} = \frac{[\mathbf{k}_g, \mathbf{e}^{(1)}]}{k_g}. \quad (2)$$

где вектора $\mathbf{e}^{(1)}$ и $\mathbf{e}^{(2)}$ перпендикулярны вектору \mathbf{k} , а векторы $\mathbf{e}_g^{(1)}$ и $\mathbf{e}_g^{(2)}$ перпендикулярны вектору $\mathbf{k}_g = \mathbf{k} + \mathbf{g}$. Векторы $\mathbf{e}^{(2)}$, $\mathbf{e}_g^{(2)}$ лежат в плоскости векторов \mathbf{k} и \mathbf{k}_g (π -поляризация), а вектора $\mathbf{e}^{(1)}$ и $\mathbf{e}_g^{(1)}$ перпендикулярны ей (σ -поляризация).

Введены угловые переменные ψ , θ и θ_0 для скорости релятивистского электрона \mathbf{V} и единичных векторов \mathbf{n} и \mathbf{n}_g :

$$\mathbf{V} = \left(1 - \frac{1}{2} \gamma^{-2} - \frac{1}{2} \psi^2 \right) \mathbf{e}_1 + \psi, \quad \mathbf{e}_1 \psi = 0$$

$$\mathbf{n} = \left(1 - \frac{1}{2} \theta_0^2 \right) \mathbf{e}_1 + \theta_0, \quad \mathbf{e}_1 \theta_0 = 0, \quad \mathbf{e}_1 \mathbf{e}_2 = \cos 2\theta_B,$$

$$\mathbf{n}_g = \left(1 - \frac{1}{2} \theta^2 \right) \mathbf{e}_2 + \theta, \quad \mathbf{e}_2 \theta = 0, \quad (1)$$

\mathbf{n} - единичный вектор в направлении импульса фотона, излученного вблизи направления вектора скорости электрона, он определяет направления излучения ПРИ вдоль скорости релятивистского электрона (ПРИВ) и переходного излучения (ПИ). \mathbf{n}_g - единичный вектор в направлении рассеяния Брэгга, он определяет направление излученных фотонов ПРИ и ДПИ. θ - угол излучения, отсчитываемый от оси детектора излучения \mathbf{e}_2 , ψ - угол отклонения рассматриваемого электрона в пучке, отсчитываемый от оси электронного пучка \mathbf{e}_1 , θ_0 - угол между направлением распространения падающего фотона и осью \mathbf{e}_1 , $\gamma = 1/\sqrt{1-V^2}$ - Лоренц-фактор электрона. Угловые переменные рассматриваются в виде суммы составляющих параллельных и перпендикулярных плоскости рисунка: $\theta = \theta_{\parallel} + \theta_{\perp}$, $\theta_0 = \theta_{0\parallel} + \theta_{0\perp}$, $\psi = \psi_{\parallel} + \psi_{\perp}$. Вектор \mathbf{g} аналогичен вектору обратной решетке в кристалле, он перпендикулярен слоям мишени и его длина равна $g = \frac{2\pi}{T}$.

$$(k^2 - \omega^2 (1 + \chi_0(\omega))) E_{\omega, \mathbf{k}}^{(s)} - \omega^2 \chi_{-g}(\omega) E_{\omega, \mathbf{k} + \mathbf{g}}^{(s)} C^{(s, \tau)} = 8\pi^2 i \omega e \Omega^{(s)} \delta(\omega - \mathbf{kV}),$$

$$((\mathbf{k} + \mathbf{g})^2 - \omega^2 (1 + \chi_0(\omega))) E_{\omega, \mathbf{k} + \mathbf{g}}^{(s)} - \omega^2 \chi_g(\omega) E_{\omega, \mathbf{k}}^{(s)} C^{(s, \tau)} = 0. \quad (3)$$

В (5) введены следующие обозначения:

$$C^{(s, \tau)} = \mathbf{e}_g^{(s)} \mathbf{e}^{(s)} = (-1)^{\tau} C^{(s)}, \quad C^{(1)} = 1, \quad C^{(2)} = |\cos 2\theta_B|,$$

$$\Omega^{(1)} = \mathbf{e}^{(1)} \mathbf{V} = \theta_{\perp} - \psi_{\perp}, \quad \Omega^{(2)} = \mathbf{e}^{(2)} \mathbf{V} = \theta_{\parallel} + \psi_{\parallel}.$$

Решение первого уравнения (3) для напряженности электрического кулоновского поля электрона в вакууме ($\chi_{-g} = \chi_0 = 0$) перед мишенью имеет вид:

$$E_{\omega, \mathbf{k}}^{(s) \text{VAC}} = \frac{8\pi^2 i \omega e \Omega^{(s)} \delta(\omega - \mathbf{kV})}{(k^2 - \omega^2)}. \quad (4)$$

Так как длины волновых векторов падающего и дифрагированного фотонов в периодической слоистой среде равны $k = \omega \sqrt{1 + \chi_0} + \lambda_0$ и $k_g = \omega \sqrt{1 + \chi_0} + \lambda_g$, для дальнейшего анализа в качестве переменной будем рассматривать λ_g , по которой будем в дальнейшем интегрировать при применении граничных условий.

В этом случае выражение (4) принимает вид:

$$E_{\omega, \mathbf{k}}^{(s) \text{VAC}} = \frac{8\pi^2 i e \Omega^{(s)}}{\omega} \frac{1}{\frac{\gamma_0}{\gamma_g} \left(\chi_0(\omega) + \frac{2}{\omega} \frac{\gamma_0}{\gamma_g} \lambda_g - \beta \frac{\gamma_0}{\gamma_g} \right)} \delta(\lambda_g^* - \lambda_g), \quad (5)$$

$$\delta(\omega - \mathbf{kV}) = \delta(\lambda_0^* - \lambda_0) = \frac{\gamma_g}{\gamma_0} \delta(\lambda_g^* - \lambda_g), \quad \lambda_0^* = \omega \left(\frac{\gamma^{-2} + (\theta_{\perp} - \psi_{\perp})^2 + (\theta_{\parallel} + \psi_{\parallel})^2 - \chi_0}{2} \right), \quad \lambda_g^* = \frac{\omega\beta}{2} + \frac{\gamma_g}{\gamma_0} \lambda_0^*, \quad \lambda_g = \lambda_0 \frac{\gamma_g}{\gamma_0} + \frac{\omega}{2} \beta.$$

В аморфных средах поле состоит из кулоновского поля электрона и поля излученных свободных фотонов переходного излучения с напряженностями $E_a^{(s)}$ и $E_b^{(s)}$:

$$E_{a0}^{(s)m} = \frac{8\pi^2 i e \Omega^{(s)}}{\omega} \frac{1}{\frac{\gamma_0}{\gamma_g} \left(\chi_0 - \chi_a + \frac{2}{\omega} \frac{\gamma_0}{\gamma_g} \lambda_g - \beta \frac{\gamma_0}{\gamma_g} \right)} \delta(\lambda_g - \lambda_g^*) + E_a^{(s)} \delta(\lambda_g - \lambda'_{ga}), \quad (6)$$

$$E_{b0}^{(s)m} = \frac{8\pi^2 i e \Omega^{(s)}}{\omega} \frac{1}{\frac{\gamma_0}{\gamma_g} \left(\chi_0 - \chi_b + \frac{2}{\omega} \frac{\gamma_0}{\gamma_g} \lambda_g - \beta \frac{\gamma_0}{\gamma_g} \right)} \delta(\lambda_g - \lambda_g^*) + E_b^{(s)} \delta(\lambda_g - \lambda'_{gb}), \quad (7)$$

$$\text{Где } \lambda'_{ga} = \lambda_g^* - \frac{\gamma_g}{\gamma_0} \omega \left(\frac{\gamma^{-2} + (\theta_{\perp} - \psi_{\perp})^2 + (\theta_{\parallel} + \psi_{\parallel})^2 - \chi_a}{2} \right), \quad \lambda'_{gb} = \lambda_g^* - \frac{\gamma_g}{\gamma_0} \omega \left(\frac{\gamma^{-2} + (\theta_{\perp} - \psi_{\perp})^2 + (\theta_{\parallel} + \psi_{\parallel})^2 - \chi_b}{2} \right).$$

Для падающей и дифрагированной волны в слоистой среде запишем Фурье-образ напряженности электрического поля:

$$E_0^{(s)plm} = \frac{8\pi^2 i e \Omega^{(s)}}{\omega} \frac{\omega^2 \beta + 2\omega \frac{\gamma_g}{\gamma_0} \lambda_0}{4 \frac{\gamma_g}{\gamma_0} (\lambda_0 - \lambda_0^{(1)}) (\lambda_0 - \lambda_0^{(2)})} \delta(\lambda_0 - \lambda_0^*) + E_0^{(s)(1)} \delta(\lambda_0 - \lambda_0^{(1)}) + E_0^{(s)(2)} \delta(\lambda_0 - \lambda_0^{(2)}), \quad (8)$$

$$E_{\omega, \mathbf{k}_g}^{(s)plm} = -\frac{8\pi^2 i e \Omega^{(s)}}{\omega} \frac{\omega^2 \chi_g(\omega) C^{(s, \tau)} \delta(\lambda_g^* - \lambda_g)}{4 \frac{\gamma_0^2}{\gamma_g^2} (\lambda_g - \lambda_g^{(1)}) (\lambda_g - \lambda_g^{(2)})} + E_g^{(s)(1)} \delta(\lambda_g - \lambda_g^{(1)}) + E_g^{(s)(2)} \delta(\lambda_g - \lambda_g^{(2)}). \quad (9)$$

$$\lambda_0^{(1,2)} = \frac{1}{2\varepsilon L_{ext}^{(s)}} \left(-\xi^{(s)} + \frac{i\rho^{(s)}(1-\varepsilon)}{2} \pm K^{(s)}(\xi^{(s)}) \right), \quad \lambda_g^{(1,2)} = \frac{1}{2L_{ext}^{(s)}} \left(\xi^{(s)} - \frac{i\rho^{(s)}(1-\varepsilon)}{2} \pm K^{(s)}(\xi^{(s)}) \right). \quad (10)$$

В выражениях введены обозначения:

$$L_{ext}^{(s)} = \frac{\pi}{C^{(s)} \omega |\chi_b'| \sqrt{(1 - \delta'_{ab}) \delta'_1 \sin^2(I_1 \pi) + (\delta'_{ab} - 1) \delta'_2 \sin^2(I_2 \pi) + \delta'_1 \delta'_2 \sin^2(I_3 \pi)}},$$

$$K^{(s)} = \sqrt{\xi^{(s)2} + \varepsilon - i\rho^{(s)}((1-\varepsilon)\xi^{(s)} + 2\kappa^{(s)}\varepsilon) - \rho^{(s)2} \left(\frac{(1-\varepsilon)^2}{4} + \kappa^{(s)2}\varepsilon \right)}, \quad \varepsilon = \frac{\sin(\delta + \theta_B)}{\sin(\delta - \theta_B)}, \quad \xi^{(s)}(\omega) = \eta^{(s)}(\omega) + \frac{1-\varepsilon}{2\nu^{(s)}}, \quad \eta^{(s)}(\omega) = \frac{2\pi^2 L_{ext}^{(s)}}{V^2 T^2 \omega_B} \left(1 - \frac{\omega}{\omega_B} \left(1 - \theta_{\parallel} \sqrt{\frac{T^2 \omega_B^2}{\pi^2} - 1} \right) \right),$$

$$\delta'_1 = \frac{\delta'_{ab}}{\delta'_{ac}} - \delta'_{ab}, \quad \delta'_2 = \frac{\delta'_{ab}}{\delta'_{ac}} - 1, \quad \delta'_{ab} = \frac{\chi'_a}{\chi'_b}, \quad \delta'_{ac} = \frac{\chi'_a}{\chi'_c}, \quad I_1 = \left(1 + \left(\frac{a}{c} \right)^{-1} + \left(\frac{a}{b} \right)^{-1} \right)^{-1}, \quad I_2 = \left(1 + \frac{a}{b} + \frac{a}{b} \left(\frac{a}{c} \right)^{-1} \right)^{-1}, \quad I_3 = \left(1 + \frac{a}{c} + \frac{a}{c} \left(\frac{a}{b} \right)^{-1} \right)^{-1}, \quad (11)$$

где $\xi^{(s)}(\omega)$ и $\eta^{(s)}(\omega)$ - спектральная функция.

Излученное поле в вакууме за мишенью в направлении рассеяния Брэгга будет иметь следующий вид:

$$E_g^{(s)VACII} = E_g^{(s)Rad} \delta\left(\lambda_g + \omega \frac{\chi_0}{2}\right).$$

Для определения амплитуды поля излучения $E_g^{(s)Rad}$ воспользуемся граничными условиями на четырех границах рассматриваемой трехслойной мишени

$$\int E_{\omega, \mathbf{k}}^{(s)VAC} d\lambda_g = \int E_{a0}^{(s)m} d\lambda_g, \quad \int E_{a0}^{(s)m} e^{i\frac{\lambda_g}{\gamma_g} a} d\lambda_g = \int E_{b0}^{(s)m} e^{i\frac{\lambda_g}{\gamma_g} a} d\lambda_g, \quad \int E_{b0}^{(s)m} e^{i\frac{\lambda_g}{\gamma_g} (a+b)} d\lambda_g = \int E_0^{(s)plm} e^{i\frac{\lambda_g}{\gamma_g} (a+b)} d\lambda_g, \quad \int E_g^{(s)plm} e^{i\frac{\lambda_g}{\gamma_g} (a+b)} d\lambda_g = 0, \\ \int E_g^{(s)plm} e^{i\frac{\lambda_g}{\gamma_g} (a+b+L)} d\lambda_g = \int E_g^{(s)VACII} e^{i\frac{\lambda_g}{\gamma_g} (a+b+L)} d\lambda_g. \quad (12)$$

Получены амплитуды излучений ПРИ и ДПИ

$$E_g^{(s)Rad} = E_{ДПИ}^{(s)} + E_{ПРИ}^{(s)},$$

$$E_{ДПИ}^{(s)} = \frac{8\pi^2 i e \Omega^{(s)}}{\omega} e^{i\left(\frac{\omega\chi_0 + \lambda_g^*}{2}\right)\frac{(a+b+L)}{\gamma_g}} \frac{\omega^2 \chi_g C^{(s)}}{2\omega \frac{\gamma_0}{\gamma_g} (\lambda_g^{(1)} - \lambda_g^{(2)})} \left(e^{i\frac{\lambda_g^{(1)} - \lambda_g^*}{\gamma_g} L} - e^{i\frac{\lambda_g^{(2)} - \lambda_g^*}{\gamma_g} L} \right) \left[\left(\frac{1}{\Gamma} - \frac{1}{\Gamma - \chi_a} \right) e^{-i\frac{\omega a}{2\gamma_0}(\Gamma - \chi_a) - i\frac{\omega b}{2\gamma_0}(\Gamma - \chi_b)} + \left(\frac{1}{\Gamma - \chi_a} - \frac{1}{\Gamma - \chi_b} \right) e^{-i\frac{\omega b}{2\gamma_0}(\Gamma - \chi_b)} + \frac{1}{\Gamma - \chi_b} - \frac{1}{\Gamma - \chi_0} \right] \quad (13)$$

$$E_{ПРИ}^{(s)} = \frac{8\pi^2 i e \Omega^{(s)}}{\omega} e^{i\left(\frac{\omega\chi_0 + \lambda_g^*}{2}\right)\frac{(a+b+L)}{\gamma_g}} \frac{\omega^2 \chi_g C^{(s)}}{2\omega \frac{\gamma_0}{\gamma_g} (\lambda_g^{(1)} - \lambda_g^{(2)})} \left[\left(\frac{1}{\Gamma - \chi_0} - \frac{\omega}{2\frac{\gamma_0}{\gamma_g} (\lambda_g^* - \lambda_g^{(1)})} \right) \left(e^{i\frac{\lambda_g^{(1)} - \lambda_g^*}{\gamma_g} L} - 1 \right) - \left(\frac{1}{\Gamma - \chi_0} - \frac{\omega}{2\frac{\gamma_0}{\gamma_g} (\lambda_g^* - \lambda_g^{(2)})} \right) \left(e^{i\frac{\lambda_g^{(2)} - \lambda_g^*}{\gamma_g} L} - 1 \right) \right], \quad (14)$$

где $\Gamma = \gamma^{-2} + (\theta_{\perp} - \psi_{\perp})^2 + (\theta_{\parallel} + \psi_{\parallel})^2$.

Будем рассматривать частный случай, когда второй слой является вакуумом, то есть $\chi_b = 0$. В этом случае выражение (13) принимает следующий вид:

$$E_{ДПИ}^{(s)} = \frac{8\pi^2 i e \Omega^{(s)}}{\omega} e^{i \left(\frac{\omega \chi_0 + \lambda_g^*}{2} \right) \frac{(a+b+L)}{\gamma_g}} \frac{\omega^2 \chi_g C^{(s)}}{2\omega \frac{\gamma_0}{\gamma_g} (\lambda_g^{(1)} - \lambda_g^{(2)})} \left(e^{i \frac{\lambda_g^{(1)} - \lambda_g^*}{\gamma_g} L} - e^{i \frac{\lambda_g^{(2)} - \lambda_g^*}{\gamma_g} L} \right) \left[\left(\frac{1}{\Gamma} - \frac{1}{\Gamma - \chi_a} \right) e^{-i \frac{\omega b}{2\gamma_0} \Gamma} \left(e^{-i \frac{\omega a}{2\gamma_0} (\Gamma - \chi_a)} - 1 \right) + \frac{1}{\Gamma} - \frac{1}{\Gamma - \chi_0} \right]. \quad (15)$$

Получены выражения для спектрально-угловых плотностей ПРИ и ДПИ

$$\omega \frac{d^2 N_{ДПИ}^{(s)}}{d\omega d\Omega} = \frac{e^2}{4\pi^2} T_{ДПИ}^{(s)} = \frac{e^2}{4\pi^2} (T_1^{(s)} + T_2^{(s)} + T_{int}^{(s)}), \quad (16)$$

$$T_1^{(s)} = \frac{e^2}{\pi^2} \Omega^{(s)2} \left(\frac{1}{\Gamma} - \frac{1}{\Gamma - \chi'_a} \right)^2 \sin^2 \left(\frac{\omega a}{4 \sin(\delta - \theta_B)} \cdot (\Gamma - \chi'_a) \right) R_{ДПИ}^{(s)}, \quad (17)$$

$$T_2^{(s)} = \frac{e^2}{4\pi^2} \Omega^{(s)2} \left(\frac{1}{\Gamma} - \frac{1}{\Gamma - \chi'_0} \right)^2 R_{ДПИ}^{(s)}, \quad (18)$$

$$T_{int}^{(s)} = -\frac{e^2}{2\pi^2} \Omega^{(s)2} \left(\frac{1}{\Gamma} - \frac{1}{\Gamma - \chi'_0} \right) \left(\frac{1}{\Gamma} - \frac{1}{\Gamma - \chi'_a} \right) \times \\ \times \left[\cos \left(\frac{\omega b}{2 \sin(\delta - \theta_B)} \cdot \Gamma \right) - \cos \left(\frac{\omega b}{2 \sin(\delta - \theta_B)} \cdot \Gamma + \frac{\omega a}{2 \sin(\delta - \theta_B)} \cdot (\Gamma - \chi'_a) \right) \right] R_{ДПИ}^{(s)}, \quad (19)$$

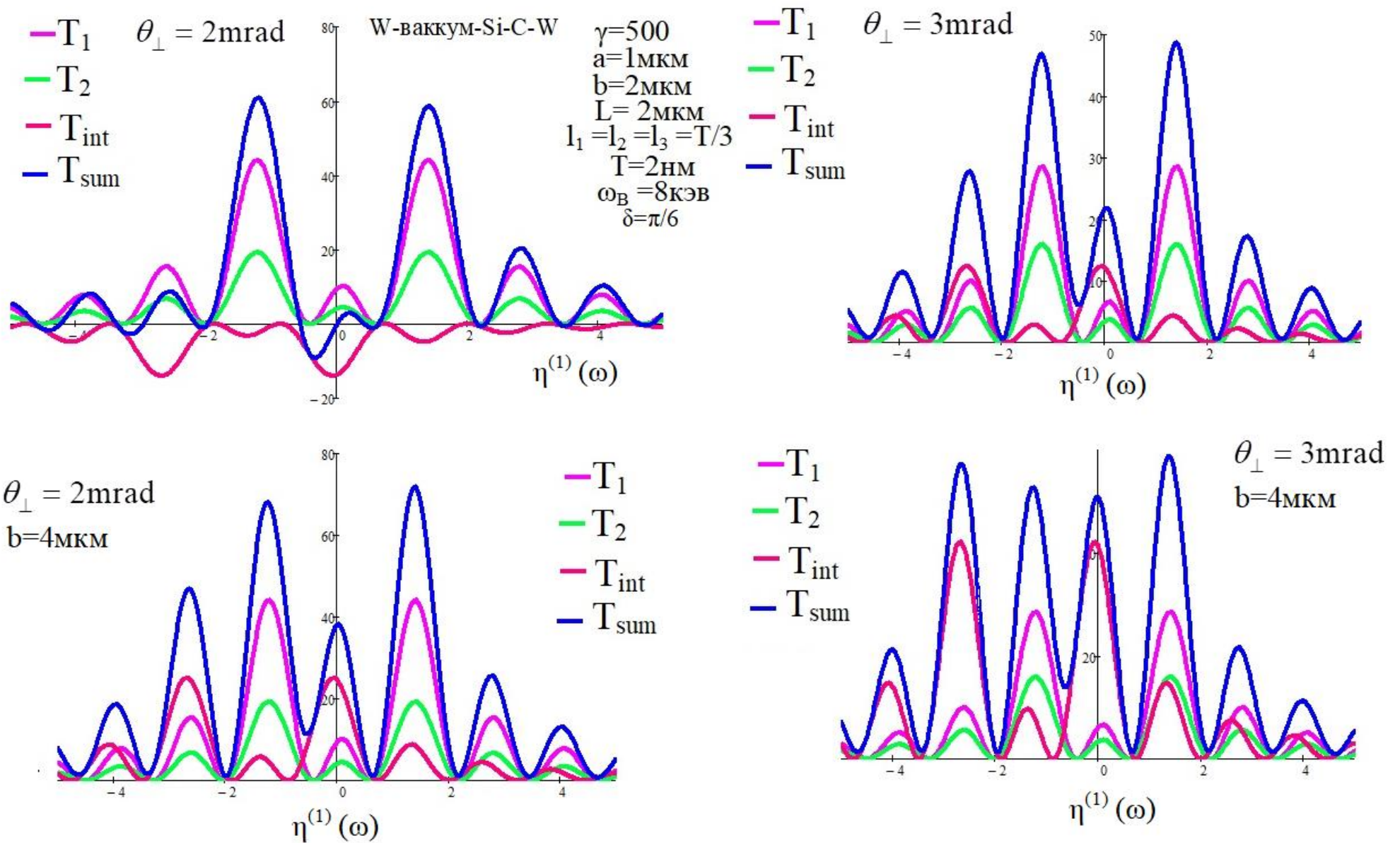
$$R_{ДПИ}^{(s)} = \frac{4\varepsilon^2}{\xi^{(s)}(\omega)^2 + \varepsilon} \sin^2 \left(\frac{B^{(s)} \sqrt{\xi^{(s)}(\omega)^2 + \varepsilon}}{\varepsilon} \right). \quad (20)$$

$$\omega \frac{d^2 N_{ПРИ}^{(s)}}{d\omega d\Omega} = \frac{e^2}{\pi^2} \left(1 - \frac{\xi}{\sqrt{\xi^2 + \varepsilon}} \right)^2 \frac{\sin^2 \left(\frac{B^{(s)} \left(\sigma^{(s)} + \frac{\xi - \sqrt{\xi^2 + \varepsilon}}{\varepsilon} \right)}{2} \right)}{\left(\sigma^{(s)} + \frac{\xi - \sqrt{\xi^2 + \varepsilon}}{\varepsilon} \right)^2},$$

$$\Gamma = \gamma^{-2} + (\theta_{\perp} - \psi_{\perp})^2 + (\theta_{\parallel} + \psi_{\parallel})^2, \quad B^{(s)} = \frac{1}{2 \sin(\delta - \theta_B)} \frac{L}{L_{ext}^{(s)}}, \quad \sigma^{(s)} = \omega L_{ext}^{(s)} (\Gamma - \chi'_0), \quad \xi^{(s)}(\omega) = \eta^{(s)}(\omega) + \frac{1 - \varepsilon}{2\nu^{(s)}}.$$

Функции $T_1^{(s)}$ и $T_2^{(s)}$ описывают спектрально-угловые плотности ДПИ, соответствующие волнам переходных излучений, генерируемых в аморфном слое и на передней границе кристаллического слоя соответственно, а функция $T_{int}^{(s)}$ описывает интерференцию этих волн.

Численные расчеты



Заключение

В рамках двухволнового приближения динамической теории дифракции получены и исследованы выражения, описывающие спектрально-угловые плотности параметрического рентгеновского излучения (ПРИ) в периодической слоистой среде и дифрагированного переходного излучения (ДПИ). Показано, что вклад в суммарное ДПИ формируется из переходных излучений, сгенерированных в аморфном слое и на передней границе периодической слоистой структуры, которые при определенных условиях могут интерферировать как конструктивно, так и деструктивно. Далее переходное излучение отражается в слоистой среде в направлении рассеяния Брэгга, образуя ДПИ. Таким образом, можно увеличивать или уменьшать вклад ДПИ в суммарное когерентное рентгеновское излучение за счет конструктивной либо деструктивной интерференции переходных излучений.